

UNA NUEVA ESPECIE DEL GÉNERO *CTENOMYS* (MAMMALIA; RODENTIA) DEL PLIOCENO TARDÍO-PLEISTOCENO MEDIO DEL SUDESTE DE LA PROVINCIA DE BUENOS AIRES, ARGENTINA

[A new species of the genus *Ctenomys* (Mammalia; Rodentia) from the Upper Pliocene-Middle Pleistocene from southeastern Buenos Aires Province, Argentina]

Sergio O. LUCERO (*) (****)

Federico L. AGNOLIN (**) (****)

Rodrigo E. OBREDOR (*) (****)

Rubén F. LUCERO (*) (****)

Marcos M. CENIZO (***) (****)

Martín L. DE LOS REYES (****)

(*): Facultad de Ciencias Naturales y Museo, Calles 60 y 122. (1900) La Plata, Argentina. Correo-e: serglucero@yahoo.com.ar

(**): Laboratorio de Anatomía Comparada y Evolución de los Vertebrados. Museo Argentino de Ciencias Naturales "Bernardino Rivadavia". Av. Ángel Gallardo, 470. (1405) Buenos Aires, Argentina. Correo-e: fedagnolin@yahoo.com.ar

(***): Departamento de Paleontología de Vertebrados. Museo de La Plata. Paseo del Bosque, s/n. (1900) La Plata, Argentina

(****): Área Paleontología. Fundación de Historia Natural "Félix de Azara". Departamento de Ciencias Naturales y Antropología. CEBBAD - Universidad Maimónides. Valentín Virasoro, 732. (C1405BDB) Ciudad Autónoma de Buenos Aires, República Argentina. Correo-e: paleo.cenozoico@fundacionazara.org.ar

(FECHA DE RECEPCIÓN: 2008-04-18) (FECHA DE ADMISIÓN: 2008-04-29)

BIBLID [0211-8327 (2008) 44 (2); 163-175]

RESUMEN: En este trabajo es descrita y nominada una nueva especie fósil del género *Ctenomys*. Este nuevo taxón proviene de la localidad de Centinela del Mar (Partido de General Alvarado, Provincia de Buenos Aires) y ha sido

colectado en sedimentos referibles al Plioceno tardío-Pleistoceno medio. La nueva especie pertenecería a las formas asociadas al grupo "*C. mendocinus*", acercándose especialmente a la especie *C. mendocinus* Philippi, 1869.

Palabras clave: Argentina, Centinela del Mar, *Ctenomys*, Ensenadense.

ABSTRACT: In this paper a new fossil species of the genus *Ctenomys* is described. This new taxon comes from the Centinela del Mar fossiliferous locality (Partido de General Alvarado, province of Buenos Aires) and has been collected in outcrops referable to the Late Pliocene-Middle Pleistocene. This species is included within the "*C. mendocinus*" species group, being nearly related to *C. mendocinus* Philippi, 1869.

Key words: Argentina, Centinela del Mar, *Ctenomys*, Ensenadan.

INTRODUCCIÓN

El género *Ctenomys* actualmente comprende más de sesenta especies de roedores subterráneos distribuidas en el sur de Sudamérica, desde el Centro-Oeste de Perú, hasta el archipiélago fueguino (CABRERA, 1961). Pese a esta gran diversidad de especies, el conocimiento de las mismas dista de ser satisfactorio (ROSI *et al.*, 2002).

En contraposición, el registro fósil del género se encuentra constituido por unas pocas especies extintas, descritas principalmente entre los años 1880-1931 (AMEGUINO, 1889; RUSCONI, 1930; 1931). Posteriormente, estas especies fueron motivo de numerosas revisiones a fin de clarificar su estatus sistemático (MASSOIA, 1990; VERZI & LEZCANO, 1996; VERZI & QUINTANA, 2005; VERZI *et al.*, 2004).

El objetivo de la presente nota es describir una nueva especie fósil del género *Ctenomys*, la cual es aquí denominada *C. thomasi* nov. sp.

La terminología osteológica utilizada en este trabajo sigue a CONTRERAS & BERRY (1982) y DE SANTIS *et al.* (1998). Con respecto a las medidas se utiliza la estandarización sugerida por CONTRERAS & CONTRERAS (1984a). El esquema crono-bioestratigráfico corresponde a CIONE & TONNI (2005).

EDAD Y ESTRATIGRAFÍA

El material que se describe en este trabajo fue exhumado en la localidad de Centinela del Mar (CdM, figura 1), Partido de General Alvarado, Provincia de Buenos Aires, Argentina. En dicha localidad se levanta un acantilado litoral con una extensión aproximada de 2,5 km cuya altura fluctúa entre 5 y 15 m. La sucesión estratigráfica es relativamente homogénea, al menos en sus niveles superiores, y en todo el perfil se destaca la presencia de horizontes guías de posible extensión regional. De acuerdo a DE LOS REYES *et al.* (2006),

en el perfil expuesto se encuentran representadas un conjunto de unidades estratigráficas posiblemente referibles al intervalo Plioceno tardío-Pleistoceno tardío (Piso-Edades Ensenadense, Bonaerense y Lujanense, correspondientes a las Biozonas de *Mesotherium cristatum*, *Megatherium americanum* y *Equus (Amerhippus) neogaeus*, respectivamente).

El ejemplar proviene del sector basal del perfil, litofacies B (figura 1). La potencia de la unidad portadora varía entre 0,50 y 1 m, compuesta litológicamente por limos loessoides arenosos de coloración marrón oscuro,

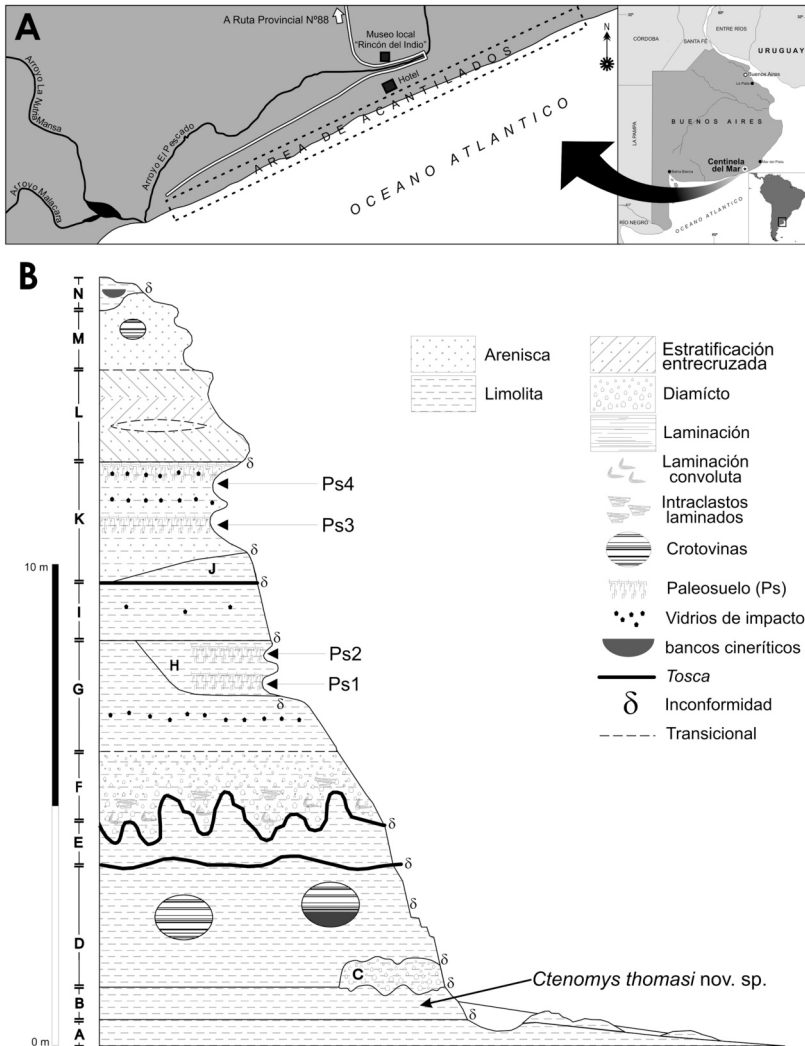


Figura 1. A. Ubicación geográfica de la localidad fosilífera de Centinela del Mar (CdM), Provincia de Buenos Aires, Argentina. B. Perfil estratigráfico integrado de la localidad CdM, indicando el nivel en donde fue hallado el holotipo de *Ctenomys thomasi* nov. sp.

masivos y fácilmente discernibles por las escasas concreciones calcáreas presentes, como, así también, por su característica estructura tabular. Su base es observable en numerosos sectores sobre la plataforma de abrasión y su techo se encuentra generalmente expuesto en la base del acantilado. Descansa en discordancia sobre la paleosuperficie que afecta a la litofacies A. 1 y 3 m, compuesta litológicamente por limos loessoides arenosos marrón oscuro. El hallazgo de *Mesotherium* sp. (U. F. J. Pardiñas, com. pers. M. M. C.) junto con la asociación faunística comunicada recientemente por DE LOS REYES *et al.* (2006), sugieren incluir el conjunto de unidades correspondientes al sector basal del perfil CdM (unidades A-D) al Piso-Edad Ensenadense (=Biozona de *Mesotherium cristatum*).

Estudios recientes sobre magnetoestratigrafía (E. Soibelzon com. pers. M. M. C.) efectuados en CdM indican que las unidades de la sección media y superior tienen polaridad normal (litofacies E-N), en tanto fue detectada la presencia de un evento de polaridad reversa en la unidad D. Siguiendo este último criterio, el límite Brunhes-Matuyama se encontraría en la base de la secuencia (entre las litofacies E y D) y el conjunto de las unidades D-A sería de una antigüedad mayor a los 0,78 Ma.

ABREVIATURAS

MLP-Pv: Colección de Paleontología de Vertebrados, Museo de La Plata, Argentina; AT: Ángulo de Thomas.

SISTEMÁTICA PALEONTOLÓGICA

Mammalia Linnaeus, 1758

Rodentia Bowdich, 1821

Caviomorpha Patterson y Wood, 1955

Octodontidae Waterhouse, 1839

Ctenomys Blainville, 1826

Ctenomys thomasi nov. sp. Figuras 2-3

Holotipo. MLP Pv 04-V-2-1. Cráneo incompleto con series dentarias completas y ambas ramas mandibulares (figuras 2-3).

Procedencia geográfica y estratigráfica. Centinela del Mar, Partido de General Alvarado, Provincia de Buenos Aires. Litofacies B, Piso-Edad Ensenadense (=Biozona de *Mesotherium cristatum*), Plioceno superior-Pleistoceno medio.

Etimología. La nueva especie es dedicada en honor al gran mastozoólogo Oldfield Thomas, quien ha descrito la gran mayoría de las especies vivientes del género *Ctenomys*.

Diagnosis. Especie del género *Ctenomys* diagnosticable en base a la siguiente combinación única de caracteres: 1) rostro estrecho y elongado, 2) proceso anterior del yugal anteroposteriormente extendido y dorsoventralmente bajo, 3) proceso postorbital simple y ubicado a la misma altura que la apófisis mandibular del yugal, 4) cresta masetérica del yugal orientada subhorizontalmente y poco proyectada anteriormente, 5) foramen interpremaxilar individualizado y separado de los forámenes incisivos, 6) ortodoncia en los incisivos superiores (AT 97), 7) diastema I1-P4 muy cóncavo en vista lateral, 8) P4 y p4 de contorno reniforme, 9) proceso condiloideo de la mandíbula dorsoventralmente muy alto y anteroposteriormente acortado, 10) proceso angular de la mandíbula estrecho, especialmente en vista dorsal.

Descripción. Especie de tamaño relativamente mediano dentro del género (ver tabla 1). Cráneo grácil, especialmente el rostro, el cual carece de ensanchamiento lateral. El premaxilar se encuentra posteriormente incompleto, pero no sobrepasaría en extensión posterior al margen caudal de los nasales. Estos últimos no se han conservado, pero la morfología de la región articular de los premaxilares indica que se estrechaban gradualmente en los sectores anterior y posterior. Forámenes incisivos bien desarrollados, anteroposteriormente elongados y con márgenes bien definidos. Foramen interpremaxilar de contorno romboidal, libre y bien definido, separado de los forámenes incisivos. Órbita relativamente amplia, delimitada por una apófisis orbitaria del yugal bien desarrollada. Considerando una línea vertical entre la apófisis postorbitaria del yugal y la apófisis mandibular, ambas se encuentran aproximadamente a la misma altura. La cresta masetérica del yugal se orienta subhorizontalmente, es poco conspicua y no se extiende anteriormente como en otras especies (e. g. *C. magellanicus*, *C. rionegrinus*). Pterigoides bien divergentes y separados por una concavidad en forma de "V" invertida. Molariformes superiores reniformes, con el prisma anterior del P4 no abultado y con el surco lingual bien marcado. M3 de contorno reniforme, con el vértice labial orientado anteriormente. Incisivos superiores ortodontes, con el ángulo de Thomas de 97°.

Especies/medidas	Longitud serie molariforme superior	Longitud mandibular	Longitud craneana	Ancho interorbitario
<i>C. thomasi</i>	8,2	30,6	40	9
<i>C. mendocinus</i>	10	44	45	9,5
<i>C. talarum</i>	8,5	38,5	40	8,5
<i>C. porteousi</i>	10,9	45,5	46,5	9
<i>C. australis</i>	12,5	55	56	10

Tabla 1. Medidas de *Ctenomys thomasi* y otros *Ctenomys* actuales.

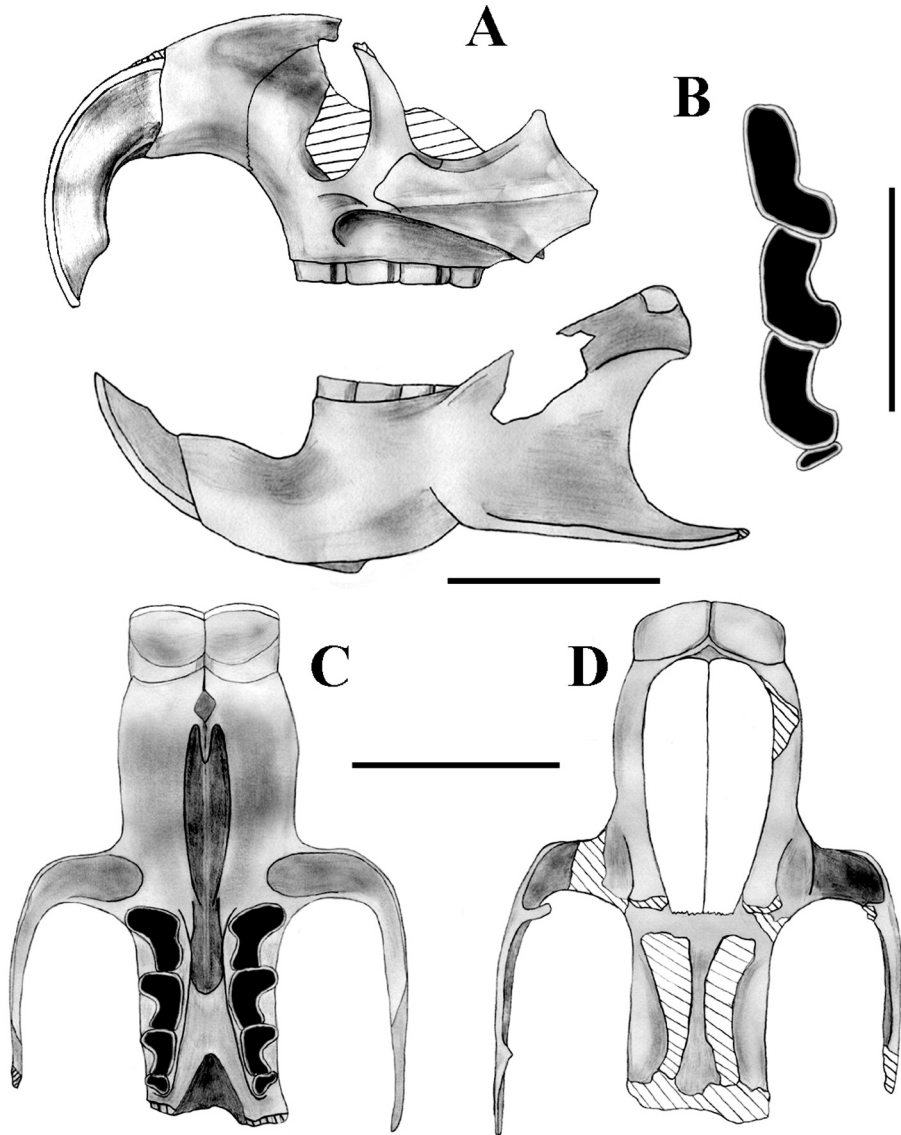


Figura 2. *Ctenomys thomasi* nov. sp. MLP Pv 04-V-2-1 (holotipo). A, cráneo y mandíbula en vista lateral izquierda; B, serie molariforme inferior izquierda (p4-m³) en vista oclusal; C, cráneo en vista dorsal (nasales reconstruidos); D, cráneo en vista ventral. Escala: A, C, D, 1 cm; B, 5 mm. C y D están invertidos.



Figura 3. *Ctenomys thomasi* nov. sp. MLP Pv 04-V-2-1 (holotipo). A, cráneo en vista dorsal; B, cráneo en vista ventral; C, cráneo en vista lateral; D, mandíbulas en vista dorsal; E, mandíbulas en vista ventral; F, mandíbulas en vista lateral izquierda. Escala: 1 cm.

La mandíbula es relativamente corta y alta. El diastema mandibular es corto. La superficie para la inserción del músculo masetero medial se encuentra poco definida. El proceso condilideo es corto y alto, orientándose levemente dorsalmente. El cóndilo mandibular es redondeado y anteroposteriormente corto. El proceso postcondilideo se encuentra bien desarrollado y dirigido posteriormente, y se presenta bien separado del cóndilo mandibular por un amplio y profundo surco. El proceso angular es grácil y bien desarrollado, estando separado del proceso condilideo por una amplia y profunda concavidad en forma de "U" abierta. La cresta masetérica mandibular es delgada y bien definida. p4 con el prisma anterior lateralmente comprimido y con un surco labial poco profundo. m3 de contorno reniforme y con un surco labial bien definido.

Medidas. Longitud total craneana estimada: 40 mm. Ancho de los huesos nasales: 5,7 mm. Ancho bicigomático: 25 mm. Longitud de los nasales estimada: 15,3 mm. Ancho incisivo: 2,7 mm. Longitud palatal: 16,8 mm. Ancho rostral: 9,8 mm. Longitud diastemática superior: 11,7 mm. Longitud de la serie de los molariformes superiores: 8,2 mm. Longitud P4: 3 mm. Altura craneana: 14,1 mm. Longitud de la mandíbula: 30,6 mm. Longitud diastemática inferior: 7,7 mm. Longitud de la serie de los molariformes inferiores: 8,8 mm. Altura mandibular: 7,5 mm.

DISCUSIÓN Y CONCLUSIONES

En esta sección, *C. thomasi* es comparado con numerosas especies vivientes y fósiles del género *Ctenomys*. Con respecto a las agrupaciones de este género se sigue provisoriamente el ordenamiento de CONTRERAS & BIDAU (1999).

Ctenomys thomasi difiere de *C. chapadmalensis* y *C. ameghinoi* (Rusconi, 1930) por presentar la mandíbula más robusta, la fosa masetérica mandibular poco profunda, el cóndilo mandibular robusto y no separado del proceso condilideo por una incisión (RUSCONI, 1930). Asimismo se diferencia de *C. chapadmalensis* (Ameghino, 1906) por presentar el foramen infraorbital de menor tamaño, incisivos superiores más robustos y anchos, y los forámenes interpremaxilar e incisivos separados (VERZI & QUINTANA, 2005).

Por otro lado, *C. thomasi* se distingue del grupo chaqueño de *Ctenomys* como, por ejemplo, *C. connoveri*, *C. boliviensis* Waterhouse, 1848, *C. subassentiens* Ameghino, 1902, *C. kraglievichi* (Rusconi, 1930) y *C. steinbachi* Thomas, 1907, por exhibir un rostro estrecho sin el ensanchamiento lateral característico de estas especies, el arco cigomático poco curvado lateralmente y por su menor tamaño (CONTRERAS & BERRY, 1982).

Adicionalmente la nueva especie difiere de *C. subassentiens* y *C. kraglievichi* porque no presenta un profundo surco inferior en la cavidad orbitaria, el proceso anterior del yugal es dorsoventralmente más bajo, la rama zigomática del maxilar es delgada y el proceso condilideo

dorsoventralmente más extenso. Difiere de *C. connoveri* por carecer de estrías anteriores en los incisivos.

Asimismo, *C. thomasi* difiere de *C. argentinus* Contreras & Berry, 1982 por exhibir el proceso anterior del yugal muy estrecho y la fosa inferior de la cavidad orbitaria pobremente delimitada (esta última característica también lo distingue de *C. connoveri* Osgood, 1946 y de *C. goodfellowi* Thomas, 1921; véase CONTRERAS & BERRY, 1982), el proceso postorbital simple (subdividido en *C. argentinus*), la apófisis mandibular del yugal ubicada posteriormente, el P4 presenta un surco interno bien desarrollado y la mandíbula carece de una depresión ubicada posterodorsalmente a la fosa masetérica.

C. roigi Contreras, 1988 posee un ensanchamiento lateral del premaxilar, el yugal es dorsoventralmente más alto, carece de una lámina falciforme levemente desarrollada por detrás del proceso maxilar y exhibe la apófisis postorbitaria del yugal más alta y ancha, el M3 es de contorno subcircular y el surco interno del P4 es muy profundo. Todos estos caracteres lo distinguen de *C. thomasi*. Curiosamente, ambas especies presentan una morfología mandibular muy semejante, exhibiendo la región articular de contorno subcuadrangular en vista lateral y el cóndilo mandibular dorsoventralmente extendido.

C. thomasi es diferenciable de *C. latidens* Gervais & Ameghino, 1888 por su menor tamaño, mayor delgadez y gracilidad de los incisivos, y menor longitud del diastema inferior. Adicionalmente el m3 es de figura típicamente reniforme, mientras que en *C. latidens* este molariforme es de contorno subovoidal (RUSCONI, 1931).

C. torquatus Lichtenstein, 1848, *C. perrensi* Thomas, 1896, *C. minutus* Nehring, 1897 y *C. bonnettoi* Contreras & Berry, 1982 presentan un yugal convexo hacia afuera en la región suborbitaria, sin insinuación de una excavación dorsal, y que se acompaña de un acentuado desarrollo de la expansión orbitaria del maxilar, la cual se prolonga en forma de una lámina vertical, y conforma el borde inferior falciforme de la órbita (CONTRERAS & BERRY, 1982). Este conjunto de caracteres se encuentra ausente en *C. thomasi*.

En *C. thomasi* el vértice inferior de la apófisis mandibular del yugal se encuentra levemente más adelantado que la apófisis paraorbitaria como sucede en *C. dorbignyi* Contreras & Contreras, 1984, *C. bonnettoi* y *C. perrensis*. La especie fósil se distingue de *C. dorbignyi* por carecer de un rostro expandido, de la fosa de Osgood y de la lámina falciforme posterior al proceso maxilar (CONTRERAS & CONTRERAS, 1984b).

Asimismo, el taxón extinto se diferencia de *C. minutus* por presentar la cresta masetérica del yugal no extendida anteriormente a la rama ascendente anterior del yugal, la mayor altura de la rama cigomática y la posición posterior del proceso mandibular del yugal.

C. thomasi se distingue de *C. paraguayensis* Contreras, 2000, entre otros caracteres, porque el foramen premaxilar se encuentra totalmente cerrado y

no se contacta a los forámenes incisivos (ambos forámenes unidos sería una característica plesiomórfica dentro del género; CONTRERAS, 2000).

La especie aquí descrita difiere de *C. rionegrensis* Langguth & Abella, 1970 entre otros caracteres por exhibir las apófisis mandibular y postorbital a la misma altura, el arco cigomático más alto, la cresta masetérica no extendida anteriormente, el foramen incisivo separado del interpremaxilar y el paladar terminando a la altura del M2 (en *C. rionegrensis* termina en el M3).

Por otro lado, *Ctenomys thomasi* se diferencia de *C. tucumanus* porque la cresta masetérica no se proyecta anteriormente, el P4 no presenta el lóbulo anterior bulboso y exhibe el surco interno bien marcado. Asimismo difiere de *C. scagliai* Contreras, 1999 y *C. knighti* Thomas, 1919 por presentar el arco zigomático de menor altura, la cresta masetérica del yugal subhorizontal (en las primeras dos especies se dirige fuertemente en sentido dorsal), los forámenes incisivos elongados, el rostro estrecho, la extensión posterior del paladar alcanzando el M3 (en *C. tucumanus*, al igual que en *C. knighti* y *C. scagliai*, el paladar no supera el M2) y los incisivos ortodontes. *C. thomasi* se asemeja a *C. scagliai* en la morfología y proporciones del cóndilo mandibular.

C. thomasi se aleja de *C. tuconax* Thomas, 1925 y *C. viperinus* Thomas, 1926 por presentar el foramen interpremaxilar separado del foramen incisivo, el arco zigomático anteriormente se inserta en sentido oblicuo (en *C. tuconax* y en *C. viperinus* lo hace de manera perpendicular al eje longitudinal del cráneo), el paladar no alcanza el M2, la apófisis postorbitaria del yugal no se dirige medialmente, la apófisis mandibular del yugal se ubica posteriormente y el m3 se presenta comprimido anteroposteriormente. Adicionalmente, el ángulo de Thomas en ambas especies es mucho mayor (*C. tuconax* 107°, *C. viperinus* 105°).

En suma, *C. thomasi* difiere de todas las especies antedichas (las cuales conforman los grupos mesopotámico y chaqueño), entre otros caracteres, por ser mucho más grácil, especialmente en el rostro, y por presentar el arco zigomático dorsoventralmente bajo, con la cresta masetérica poco pronunciada y subhorizontal, con las apófisis postorbitaria y mandibular ubicadas al mismo nivel (ver CONTRERAS, 1999). Caracteres que acercan a *C. thomasi* al grupo de especies "*C. mendocinus*".

C. thomasi se distingue de *C. mendocinus* Philippi, 1869 en presentar el cóndilo mandibular y el proceso postcondilideo cercanos al margen posterior de la mandíbula, el mayor ancho orbitario (los arcos zigomáticos divergen posteriormente en *C. thomasi*), los forámenes incisivos alargados y el menor ancho del paladar a la altura del P4 (véase para caracteres adicionales la diagnosis específica de *C. thomasi* brindada más arriba). Las semejanzas entre *C. thomasi* y *C. mendocinus* son notables, y entre ellas pueden destacarse dos caracteres ausentes en la mayoría de las especies conocidas de *Ctenomys*: 1) diastema superior fuertemente cóncavo en vista lateral, y 2) el ángulo a 90° entre la base del incisivo inferior y el escalón que conforma la serie dentaria.

La especie fósil se diferencia de *C. chasiquensis* Contreras, 1968 (muy probablemente sinónimo de *C. mendocinus* Massoia, 1990) en el mayor tamaño del cráneo, en presentar el cóndilo mandibular y el proceso postcondilideo cercanos al margen posterior de la mandíbula, el mayor ancho orbitario y el menor ancho del paladar a la altura del P4. A su vez, la nueva especie se diferencia de *C. baigi* Thomas, 1919 por presentar la apófisis postorbital más aguda y alta, los forámenes premaxilar e incisivos separados, la menor altura de la rama cigomática y la menor extensión anterior de la cresta masetérica del yugal. Se asemeja en que la extensión del paladar abarca sólo hasta la región posterior del M2.

C. thomasi difiere de *C. validus* por no presentar los nasales ensanchados anteriormente, el prisma anterior del P4 no abultado, el p4 con el primer lóbulo bien diferenciado y los premaxilares no extendidos posteriormente. Se asemejan en el tamaño y contorno del M3, el cual se encuentra bien desarrollado, es anteroposteriormente comprimido y de contorno reniforme.

La nueva especie se distingue de *C. torquatus* Lichtenstein, 1848 porque la fosa pterigoidea llega hasta el M3, el diastema dorsal es muy cóncavo en vista lateral, los arcos zigomáticos con mayor divergencia posterior y la cresta masetérica es recta y de posición subhorizontal. Ambas especies se acercan en el escaso ancho del paladar a la altura del P4.

La especie fósil se diferencia de *C. australis* Rusconi, 1934 por su menor tamaño (ver tabla 1) y robustez, mayor gracilidad del rostro, la menor altura de la sínfisis mandibular, la mayor brevedad y robustez del cóndilo mandibular, la menor altura de la rama maxilar del arco zigomático y la cresta masetérica del yugal subhorizontal. Asimismo difiere de *C. pundti* Nehring, 1900 y *C. talarum* por su mayor tamaño (ver tabla 1), incisivos ortodontes, maxilar no extendido por sobre el yugal y no participando de la delimitación ventral de la órbita, apófisis orbitaria y apófisis mandibular del yugal gráciles.

Ambas especies se acercan a *C. thomasi* en la existencia de una pequeña depresión ubicada en el borde antero-dorsal del yugal, y en la presencia de un foramen interpremaxilar bien desarrollado (QUINTANA, 2004), caracteres que también se encuentran presentes en las especies del "grupo *C. mendocinus*" (e. g. *C. mendocinus*, *C. chasiquensis*, *C. validus*). Del mismo modo *C. thomasi* puede ser diferenciado de *C. osvaldoreigi* Contreras, 1995 entre otros caracteres por el foramen interpremaxilar separado del foramen incisivo.

La especie fósil *C. bonariensis* Gervais & Ameghino, 1888 se distingue por su tamaño menor, por presentar el cóndilo mandibular muy proyectado posteriormente y por exhibir una curvatura mandibular ventral poco pronunciada. Comparaciones más extensas no han sido posibles debido a que *C. bonariensis* se ha fundamentado únicamente sobre la base de una hemimandíbula.

C. magellanicus Bennett, 1836 se diferencia de *C. thomasi* por la mayor anchura del paladar a la altura del P4, la cresta masetérica del yugal poco pronunciada, la apófisis mandibular pobremente definida y la menor altura del yugal en la porción ubicada entre la rama ascendente anterior y la

eminencia postorbitaria. La nueva especie se distingue asimismo de *C. colburni* 1911 y *C. osgoodi* 1903 por exhibir un cóndilo mandibular corto y alto, poco proyectado posteriormente, por poseer el arco zigomático dorsoventralmente más alto, la cresta masetérica del yugal no extendida anteriormente y por exhibir las apófisis postorbitaria y mandibular del yugal bien desarrolladas, entre otros caracteres. Asimismo se diferencia de *C. maulinus* Pearson, 1984 por presentar el foramen incisivo separado del interpremaxilar, yugal prolongado anteriormente, apófisis postorbitaria del yugal baja y dirigida anterodorsalmente, ubicada al nivel del M3 (en *C. maulinus* se inicia detrás del M3), y el cóndilo mandibular dorsoventralmente extendido.

En conclusión, *C. thomasi* es una especie que por las características de los elementos craneanos conocidos podría ser incluida dentro del "grupo *C. mendocinus*" (Contreras, 1999), y se acercaría especialmente a la especie *C. mendocinus*.

AGRADECIMIENTOS

Agradecemos al Lic. C. Larriestra quien brindó sustanciales interpretaciones sedimentológicas y apoyó de múltiples maneras el inicio de los trabajos en CdM. Familia de los Reyes, Daniel Rey, Silvio Lorenzini, pobladores de CdM. Participaron en las tareas de campo: D. Voglino, F. Larriestra, M. A. de Cuadra, M. P. Arnerillo, N. Davini, L. Ricchi, N. E. González, A. Leaden, M. S. Sciortino, L. D. Rey, J. Jáñez, P. Stampella, J. Echevarría y E. Soibelzon. Finalmente, agradecemos a Martín Ubilla sus interesantes observaciones sobre el manuscrito (las cuales no han sido seguidas en todos los casos por los autores).

BIBLIOGRAFÍA

- AMEGHINO, F. (1889): Contribución al conocimiento de los mamíferos fósiles de la República Argentina. *Actas Acad. Nac. Cienc. Córdoba*, 6: 1-1027.
- CABRERA, A. (1961): Catálogo de los mamíferos de América del Sur. *Rev. Mus. Arg. Cienc. Nat.*, 4: 309-732.
- CIONE, A. L. & TONNI, E. P. (2005): Bioestratigrafía basada en mamíferos del Cenozoico Superior de la Provincia de Buenos Aires, Argentina. *XVI Cong. Geol. Arg.*, 11: 183-200.
- CONTRERAS, J. R. (1999): El género *Ctenomys* en la Provincia de Tucumán, República Argentina, con la descripción de una nueva especie (Rodentia, Ctenomyidae). *Ciencia Siglo XXI*, 3: 1-32.
- CONTRERAS, J. R. (2000): *Ctenomys paraguayensis*, una nueva especie de roedor excavador procedente del Paraguay Oriental (Mammalia, Rodentia, Ctenomyidae). *Rev. Mus. Arg. Cienc. Nat. "Bernardino Rivadavia"*, 2: 61-68.

- CONTRERAS, J. R. & BERRY, L. M. (1982): *Ctenomys argentinus*, una nueva especie de tucu-tucu procedente de la Provincia del Chaco, República Argentina. *Historia Natural*, 2: 165-173.
- CONTRERAS, J. R. & BIDAU, C. J. (1999): Líneas generales del panorama evolutivo de los roedores excavadores sudamericanos del género *Ctenomys* (Mammalia, Rodentia, Caviomorpha, Ctenomyidae). *Ciencia Siglo XXI*, 1: 1-23.
- CONTRERAS, J. R. & CONTRERAS, A. N. C. (1984a): Craneología y craneometría del género *Ctenomys*. II. Craneometría. *Historia Natural*, 4: 245-248.
- CONTRERAS, J. R. & CONTRERAS, A. N. C. (1984b): Diagnósis preliminar de una nueva especie de anguyá-tutú (género *Ctenomys*) para la Provincia de Corrientes, Argentina (Mammalia, Rodentia). *Historia Natural*, 4: 131-132.
- DE LOS REYES, L. M.; CENIZO, M. M.; AGNOLIN, F. L.; LUCERO, S.; BOGAN, S.; LUCERO, R.; PARDIÑAS, U. F. J.; PREVOSTI, F. & SCANFERLA, A. (2006): Aspectos paleofaunísticos y estratigráficos preliminares de las secuencias plio-pleistocénicas de la localidad Centinela del Mar, Provincia de Buenos Aires, Argentina. *90 Congreso Argentino de Paleontología y Bioestratigrafía, Córdoba. Resúmenes*: 105 pp.
- DE SANTIS, L. J.; MOREIRA, M. G. J. & JUSTO, E. R. (1998): Anatomía de la musculatura branquiomérica de algunas especies de *Ctenomys* Blainville, 1826 (Rodentia, Ctenomyidae): caracteres adaptativos. *Bol. Soc. Biol. Concepción*, 69: 89-107.
- MASSOIA, E. (1990): Roedores depredados por *Tyto alba tuidara* en Mar del Tuyu, Partido de General Lavalle, Provincia de Buenos Aires. *APRONA*, 17: 17-20.
- QUINTANA, C. A. (2004): El registro de *Ctenomys talarum* durante el Pleistoceno Tardío-Holoceno de las sierras de Tandilía Oriental. *Mast. Neotrop.*, 11: 45-53.
- ROSI, M. I.; CONA, M. I. & ROIG, V. G. (2002): Estado actual del conocimiento del roedor fosorial *Ctenomys mendocinus* Philippi, 1869 (Rodentia: Ctenomyidae). *Mast. Neotrop.*, 9: 277-295.
- RUSCONI, C. (1930): Una nueva especie de roedor del subgénero *Paractenomys*. *An. Soc. Cient. Arg.*, 110: 153-158.
- RUSCONI, C. (1931): Las especies fósiles del género *Ctenomys* con descripción de nuevas especies. *An. Soc. Cient. Arg.*, 113: 217-236.
- VERZI, D. H.; DESCHAMPS, C. M. & TONNI, E. P. (2004): Biostratigraphy and Palaeoclimatic meaning of the Middle Pleistocene South American rodent *Ctenomys kraglievichi* (Caviomorpha, Octodontidae). *Palaeog., Palaeoclim., Palaeoecol.*, 212: 315-329.
- VERZI, D. H. & LEZCANO, M. (1996): Estatus sistemático y antigüedad de "*Megactenomys*" *kraglievichi* Rusconi, 1930 (Rodentia, Octodontidae). *Rev. Mus. La Plata*, 9: 239-246.
- VERZI, D. H. & QUINTANA, C. A. (2005): The caviomorph rodents from the San Andrés Formation, east-central Argentina, and global Late Pliocene climatic change. *Palaeog., Palaeoclim., Palaeoecol.*, 219: 303-320.